

УДК 537.228.3

УПРАВЛЕНИЕ ОПТИЧЕСКИМ ИЗЛУЧЕНИЕМ С ПОМОЩЬЮ КРИСТАЛЛОВ МАГНО-НИОБАТА СВИНЦА

*И. И. Адрианова, А. А. Бережной, Е. В. Нифедова,
В. А. Письменный, Ю. В. Попов и К. П. Скорнякова*

Излагаются результаты исследования электрооптического эффекта в кристаллах магно-ниобата свинца (PMN). Обсуждаются возможности модуляции и отклонения светового излучения с помощью этих кристаллов. Подробно описываются особенности квадратичного электрооптического эффекта. Приводятся зависимости потребляемой мощности, емкости и полуволнового напряжения от размера кристалла в направлении приложения поля. Рассмотрен процесс линеаризации электрооптического эффекта и его влияние на величину полуволнового напряжения. Показано, что квадратичный продольный электрооптический эффект является весьма перспективным для целей модуляции светового излучения. Величина ($E_{\lambda/2}d$) в кристаллах магно-ниобата свинца для линейного поперечного эффекта более чем на два порядка меньше, чем в кристаллах KDP. Рассмотрены возможности отклонения светового луча с помощью призм из кристаллов PMN.

Кристаллы магно-ниобата свинца ($PbMg_{1/3}Nb_{2/3}O_3$ или PMN) обладают значительным электрооптическим эффектом [1–3]. При комнатной температуре они принадлежат к кубическому центросимметричному классу симметрии $t\bar{3}m$ и являются сегнетоэлектриками с размытым фазовым переходом. Область размытия фазового перехода лежит от -50 до $+50^\circ C$. В кристаллах с размытым фазовым переходом температура максимума диэлектрической проницаемости T_k зависит от частоты электрического поля. С увеличением частоты T_k сдвигается в область высоких температур. Заметной дисперсии диэлектрической проницаемости при комнатной температуре не наблюдается. Несмотря на наличие максимума диэлектрической проницаемости, кристаллы остаются оптически изотропными во всей области размытия фазового перехода [3]. Это важно для практических целей, так как естественное двойное лучепреломление Δn_a является весьма нежелательным параметром кристаллов при использовании их в модуляторах светового излучения. Оно ограничивает апертуру модуляторов и весьма чувствительно к температурным изменениям. Если Δn_a пространственно однородно, то возможна его компенсация (см., например, [5]). Однако пространственно неоднородное двулучепреломление Δn_a , которое может возникнуть в результате высокочастотного нагрева, практически скомпенсировать невозможно.

Большая величина электрооптического коэффициента в кристаллах PMN обусловлена большим вкладом ориентационной части поляризации в величину электрооптического эффекта. В связи с этим электрооптические коэффициенты зависят от частоты электрического поля, вызывающего оптическую нелинейность кристалла [3]. Наблюдается уменьшение коэффициентов с увеличением частоты электрического поля.

Связь электрооптических коэффициентов с диэлектрической проницаемостью определяется выражением [6]

$$R_{ij} = N \Delta_{ij} \varepsilon_\omega^2, \quad (1)$$

где R_{ij} — квадратичные электрооптические коэффициенты,

$$N = \left(\frac{1}{4\pi} \right)^3 \left(\frac{n_0^2 - 1}{n_0^2} \right)^2,$$

n_0 — показатель преломления, Δ_{ij} — коэффициент Миллера [6], ϵ — диэлектрическая проницаемость при частоте электрического поля ω . Таким образом, величина R_{ij} прямо пропорциональна квадрату диэлектрической проницаемости. Дисперсия диэлектрической проницаемости и показателя преломления обусловливает дисперсию квадратичных электрооптических коэффициентов.

Вследствие того что электрическое поле в кристаллах магно-ниобата свинца вызывает большую диэлектрическую поляризацию, происходит линеаризация электрооптического эффекта. Величина поляризации, при которой происходит линеаризация, приблизительно равна $P_0 = 6.6 \text{ мкм}^2/\text{см}^2$ [6].

Величину линейных электрооптических коэффициентов можно представить следующим образом:

$$r_{ij} = 8\pi N \Delta_{ij} P_0 \epsilon_\omega, \quad (2)$$

где r_{ij} — линейный электрооптический коэффициент, ϵ_ω — диэлектрическая проницаемость при напряженности электрического поля E_0 , при которой $P = P_0$.

Феноменологическое рассмотрение электрооптического эффекта в кристаллах с точечной группой симметрии $m\bar{3}m$ предсказывает, кроме поперечного эффекта, продольный квадратичный электрооптический эффект в направлении (011). Причем величина этого эффекта определяется величиной ($R_{11} - R_{12} - R_{44}$). Однако во всех известных кристаллах, кроме PMN, эта комбинация коэффициентов приблизительно равна нулю [7]. То, что в кристаллах магно-ниобата свинца наблюдается значительный продольный электрооптический эффект, делает их весьма перспективными для применения в электрооптических затворах и дискретных дефлекторах.

Рассмотрим поперечный электрооптический эффект в кристаллах PMN. Используя матрицу квадратичных электрооптических коэффициентов, изменение показателя преломления можно представить следующим образом:

$$\left. \begin{aligned} \Delta n_{[001]} &= \frac{1}{2} n_0^3 R_{11}^2 E_{[001]}^2, \\ \Delta n_{[010]} &= \frac{1}{2} n_0^3 R_{12} E_{[001]}^2, \\ \Delta n_{[011]} &= \frac{1}{2} n_0^3 (R_{11} + R_{12} + R_{44}) E_{[001]}^2, \\ \Delta n_{[0\bar{1}\bar{1}]} &= \frac{1}{2} n_0^3 (R_{11} + R_{12} - R_{44}) E_{[001]}^2, \end{aligned} \right\} \quad (3)$$

где $\Delta n_{[001]}$; $\Delta n_{[010]}$; $\Delta n_{[011]}$ и $\Delta n_{[0\bar{1}\bar{1}]}$ — изменение показателя преломления для светового электрического вектора, колеблющегося соответственно вдоль направлений [001], [010], [011] и [0\bar{1}\bar{1}]; $E_{[001]}$ и $E_{[011]}$ — напряженность электрического поля, приложенного соответственно в направлениях [001] и [011].

Исходя из уравнения (3), величину полуволнового напряжения для света, распространяющегося в направлении [010], и поля, приложенного вдоль [001], можно представить следующим уравнением:

$$V_{\lambda/2} = \left[\frac{\lambda}{n_0^3 (R_{11} - R_{12})} \right]^{1/2} \frac{d}{l^{1/2}}, \quad (4)$$

где l — толщина кристалла в направлении распространения света, d — толщина кристалла в направлении приложения электрического поля. Аналогичное уравнение можно получить для случая, когда свет распространяется в направлении [100], а поле приложено вдоль направления [011].

Далее, вследствие нелинейной зависимости Δn от E , напряжение между i -м максимумом и j -минимумом можно представить следующим образом:

$$V_{\lambda/2}^{ij} = V_{\lambda/2}^{00} |\sqrt{2i+1} - \sqrt{2j}|, \quad (5)$$

где $V_{\lambda/2}^{00}$ представляется уравнением (4), i и $j=i, i+1$ — положительные целые числа. Из этого уравнения видно, что если подать постоянное смещение, равное $\sum_{ij} V_{\lambda/2}^{ij}$, то можно значительно уменьшить управляющее напряжение.

При поперечном линейном электрооптическом эффекте $V_{\lambda/2}$ прямо пропорционально отношению d/l , в то время как при квадратичном эффекте $V_{\lambda/2}$ пропорционально d/l^2 [см. (3)]. Поэтому при квадратичном эффекте более выгодно уменьшать толщину кристалла, чем увеличивать его длину.

Вследствие линеаризации электрооптического эффекта зависимость $V_{\lambda/2}$ от геометрических размеров значительно усложняется. Было установлено, что при комнатной температуре начиная уже с полей $E > E_0 = 4$ кв/см наблюдается линейная зависимость Δn от E . Таким образом, если $E > E_0$, уравнение (4) для расчета $V_{\lambda/2}$ использовать нельзя, так как оно справедливо при квадратичной зависимости Δn от E . Чтобы получить выражение для $V_{\lambda/2}$ при напряженностях $E_{\lambda/2} > E_0$, необходима связь между индуцированным двойным лучепреломлением и напряженностью электрооптического поля при $E > E_0$. Считая, что индуцированное двойное лучепреломление пропорционально квадрату полной поляризации, и зная класс симметрии, в который переходит кристалл под действием электрического поля, эту связь можно получить аналогично тому, как это было сделано в [6, 8]. Когда поле приложено в направлении [001] кристалл магно-ниобата свинца переходит в тетрагональный класс симметрии 4mm [9] и изменение показателя преломления соответственно в направлениях [001] и [100] можно представить следующим образом:

$$\left. \begin{aligned} \Delta n_{[001]} &= \frac{1}{2} n_0^3 [R_{11}E_0^2 + 2r_{33}(E - E_0)], \\ \Delta n_{[100]} &= \frac{1}{2} n_0^3 [R_{12}E_0^2 + 2r_{13}(E - E_0)]. \end{aligned} \right\} \quad (6)$$

Аналогичные уравнения можно получить, когда электрическое поле приложено вдоль [011], следует только учесть, что кристалл переходит в ромбический класс симметрии $mm2$ [8],

$$\left. \begin{aligned} \Delta n_{[0\bar{1}1]} &= \frac{1}{4} n_0^3 [(R_{11} + R_{12} - R_{44}) E_0^2 + 2r_{13}(E - E_0)], \\ \Delta n_{[011]} &= \frac{1}{4} n_0^3 [(R_{11} + R_{12} + R_{44}) E_0^2 + 2r_{33}(E - E_0)], \\ \Delta n_{[100]} &= \frac{1}{4} n_0^3 [R_{12}E_0^2 + 2r_{23}(E - E_0)]. \end{aligned} \right\} \quad (7)$$

Исследуя интерферометрическим методом [8] абсолютные изменения показателей преломления в кристаллах магно-ниобата свинца вдоль различных кристаллографических направлений при комнатной температуре, по формулам (6) и (7) были рассчитаны электрооптические коэффициенты, значения которых представлены в таблице. Используя уравнение (6), получим выражение для полуволнового напряжения $V_{\lambda/2}$ для $E > E_0$, которое имеет вид

$$V_{\lambda/2} = \frac{\lambda}{2n_0^3(r_{33} - r_{13})} \frac{d}{l} + \left[E_0 - \frac{R_{11} - R_{12}}{2(r_{33} - r_{13})} \right] d. \quad (8)$$

Для любого отношения d/l существует такая толщина кристалла d_0 , для которой $E_{\lambda/2} = E_0$ (для отношения $d/l = 1$, эта толщина равна 0.16 см). Используя значение электрооптических коэффициентов, представленных в таблице, легко рассчитать для различных толщин кристалла [для

$R_i, 10^{12} \text{ см}^2/\text{В}^2$	$r_{ij}, 10^{10} \text{ см}/\text{В}$	$V_{\lambda/2}, \text{ кв}$	при $n_0 = 0.63 \text{ мкм}$	ϵ^*	$\operatorname{tg} \delta^*$
$R_{11}=1.40$ $R_{12}=0.09$ $R_{44}=0.67$	Для симметрии mm 2 $r_{13}=69.0$ $r_{23}=3.8$	Для продольного эффекта при $d < d_0$ ($0.52+4.9 d$), при $d > d_0 3.4\sqrt{d}$	$n_0=2.56$	7400	0.02
	Для симметрии $4mm$ $r_{33}=167.0$ $r_{13}=8.2$	Для поперечного эффекта (для $l/d=1$) при $d < d_0 (0.11+3.4 d)$ при $d > d_0 3.2\sqrt{d}$			

* ϵ и $\operatorname{tg} \delta$ при комнатной температуре и частоте электрического поля $f = 5 \cdot 10^8 \text{ Гц}$.

$d > d_0$ — используя уравнение (4), а для $d < d_0$ — используя уравнение (8)]. Из рис. 1, где представлена эта зависимость, видно, что $V_{\lambda/2}$ (при $d/l=1$) при уменьшении стремится к величине, равной 110 в. Поэтому кристаллы с квадратичным эффектом выгодно использовать при малых толщинах. Так как в кристаллах $\text{PbMg}_{1/3}\text{Nb}_{2/3}\text{O}_3$ отсутствует естественное двойное лучепреломление, то они позволяют создавать модуляторы для сходящихся пучков света. Это позволяет значительно уменьшить d , не уменьшая угловую апертуру модулятора.

При исследовании продольного электрооптического эффекта было установлено, что линеаризация электрооптического эффекта происходит при больших значениях напряженности электрического поля, чем при поперечном эффекте. E_0 оказалось равным ~ 8.3 кв. Совершенно аналогично, как это было сделано для поперечного эффекта, можно получить уравнение для полуволновых напряжений для $d > d_0$ и для $d < d_0$. Эти уравнения соответственно имеют вид

$$\left. \begin{aligned} V_{\lambda/2} &= \left[\frac{2\lambda l}{n_0^3 (R_{11} - R_{12} - R_{44})} \right]^{1/2}, \\ V_{\lambda/2} &= \frac{\lambda}{n_0^3 (r_{13} - r_{33})} + \left[E_0 - \frac{R_{11} - R_{12} - R_{44}}{2(r_{13} - r_{23})} \right] d. \end{aligned} \right\} \quad (9)$$

На рис. 2 представлена зависимость $V_{\lambda/2}$ от толщины кристалла при продольном эффекте. При уменьшении $V_{\lambda/2}$ стремится к величине 575 в. Эта величина как раз равна величине полуволнового напряжения для продольного линейного электрооптического эффекта. Величина продольного эффекта в кристаллах PMN является большей, чем в любом известном в настоящее время кубическом кристалле, обладающем электрооптическим эффектом.

Существенным недостатком кристаллов магно-ниобата свинца нужно считать большую диэлектрическую проницаемость ϵ_ω . Она существенно увеличивает потребляемую мощность W приложенного к кристаллу поля, особенно при ВЧ и СВЧ полях. С другой стороны, согласно уравнениям (1) и (2), диэлектрическая проницаемость собственно и определяет величину электрооптического эффекта. Используя выражения для потребляемой мощности и уравнений (1) и (2), можно легко показать, что

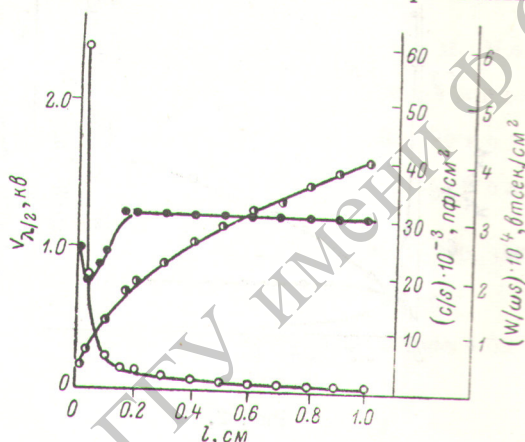


Рис. 1. Зависимость

полуволнового напряже-

ния от толщины кри-

сталла при продоль-

ном эффекте

и диэлектрической

проницаемости

материала

и диэлектрической

проницаемости

На рис. 3 представлена экспериментальная зависимость изменения угла преломления от величины электрического поля для призмы с $\alpha = 31^\circ$ и $d = 2.2$ мм. В соответствии с изменением показателя преломления от напряжения для $\Delta\beta$ также наблюдается квадратичная зависимость, которая при дальнейшем увеличении поля переходит в линейную. Расчет изменения угла преломления от поля для призм из кристаллов KDP показывает, что $\Delta\beta$ в 50 раз меньше в этих призмах, чем в призмах из магно-ниобата свинца.

Таким образом, проведенные исследования электрооптического эффекта в кристаллах магно-ниобата свинца показывают, что это весьма перспективный электрооптический материал для целей модуляции и сканирования излучения.

В заключение авторы выражают свою благодарность Г. А. Смоленскому и Н. Н. Крайнику за проявленный интерес к работе, а также Т. Н. Кулниковой за помощь при проведении эксперимента.

Литература

- [1] А. А. Бережной. Изв. АН СССР, сер. физ. 31, 1154, 1967.
- [2] W. A. Wolpert, E. F. Dergarovogt, J. E. Geusic, H. M. Moggcos, L. C. Van Uitert. Appl. Phys. Lett., 10, 163, 1967.
- [3] Г. А. Смоленский, Н. Н. Крайник, А. А. Бережной, И. Е. Мыльникова. ФТТ, 10, 465, 1968.
- [4] А. А. Бережной, В. Н. Бухман, Л. Г. Кудинова, И. Е. Мыльникова. ФТТ, 10, 225, 1968.
- [5] И. И. Адрианова, Ю. В. Попов, Р. С. Соколова, И. А. Тельтевский. Опт.-механич. промышл., 10, 40, 1968.
- [6] А. А. Бережной. ФТТ, 14, 1524, 1972.
- [7] M. DiDomenico, S. H. Wemple. J. Appl. Phys., 40, 2, 720, 1969.
- [8] А. А. Бережной. Опт. и спектр., 11, 803, 1971.
- [9] О. Г. Влох. УФЖ, 10, 1001, 1965.

Поступило в Редакцию 21 апреля 1972 г.